

# 人大附中 2022—2023 高三化学同步练习 9

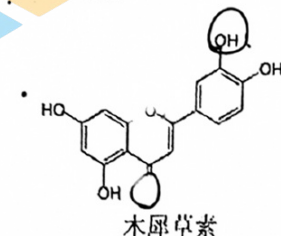
本试卷共 100 分；考试时间 70 分钟。

可能用到的原子量：H-1 C-12 O-16 S-32 Fe-56

## 第 I 卷（选择题部分，共 42 分，每小题只有 1 个正确选项）

1. 木犀草素有镇咳化痰的作用，其结构简式如图。下列说法不正确的是

- A. 分子中有 3 种含氧官能团
- B. 分子中碳原子均为  $sp^2$  杂化
- C. 能与  $Br_2$  发生取代反应和加成反应
- D. 能与  $NaHCO_3$  溶液反应，产生气泡



2. 下列化学用语或图示表达正确的是

A.  $Mg^{2+}$  的结构示意图：

B.  $NaOH$  的电子式：

C.  $BF_3$  的空间结构模型：

D. 反式聚异戊二烯的结构简式：

3. 下列物质的性质不能用化学键解释的是

- A. 碘单质常温为固体
- B. 氮气化学性质稳定
- C. 金刚石硬度大
- D. 金属铜具有导电性

4. 锡 ( $_{50}Sn$ ) 与 Si 处于同一主族，由于锡具有一定的抗腐蚀性，镀锡的铁皮常用于制作罐头盒。下列说法不合理的是

- A. 原子半径： $Sn > Si$
- B. 金属性： $Rb$  (铷)  $> Sn$
- C. Sn 位于第四周期第 IV A 族， p 区
- D. 镀锡铁皮的镀层破损后，铁更容易被腐蚀

5. 下列解释事实的方程式不正确的是

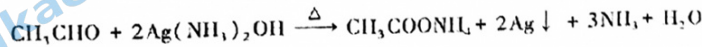
A. 用  $FeCl_3$  溶液制作铜质印刷线路板： $2Fe^{3+} + Cu \rightleftharpoons Cu^{2+} + 2Fe^{2+}$

B. 酸性条件下草酸和高锰酸钾的反应： $2MnO_4^- + 5C_2O_4^{2-} + 16H^+ \rightleftharpoons 2Mn^{2+} + 10CO_2 \uparrow + 8H_2O$

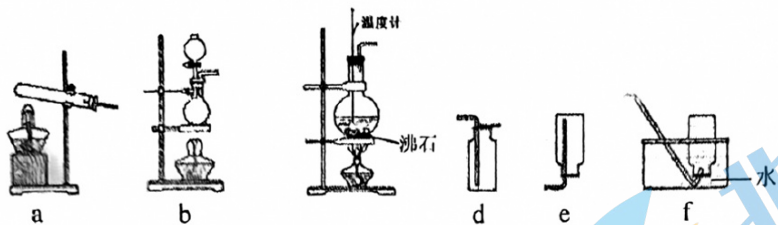
C. 用难溶的  $MnS$  除去  $MnCl_2$  溶液中含有的  $Pb^{2+}$ ：



D. 向银氨溶液中滴加乙醛后加热，出现银镜：



6. 实验室制取下列气体，所选试剂、制备装置与收集方法合理的是



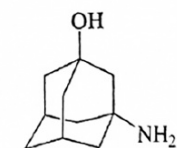
选项	气体	反应试剂	制备装置	收集方法
	NO <sub>2</sub>	Cu、稀硝酸	b	e
B.	C <sub>2</sub> H <sub>4</sub>	C <sub>2</sub> H <sub>5</sub> OH、浓硫酸	c	f
C.	NH <sub>3</sub>	Ca(OH) <sub>2</sub> 、NH <sub>4</sub> Cl	a	d
	SO <sub>2</sub>	Na <sub>2</sub> SO <sub>3</sub> 、70%硫酸	b	f

7. 下列物质混合后，因发生氧化还原反应使溶液pH减小的是

- A. 向H<sub>2</sub>S溶液中通入氯气，生成黄色沉淀
- B. 向NaOH和Fe(OH)<sub>2</sub>的悬浊液中通入空气，生成红褐色沉淀
- C. 向NaHCO<sub>3</sub>溶液中加入少量CuSO<sub>4</sub>溶液，生成蓝绿色沉淀[Cu<sub>2</sub>(OH)<sub>2</sub>CO<sub>3</sub>]
- D. 向NaHSO<sub>4</sub>溶液中加入少量BaCl<sub>2</sub>溶液，生成白色沉淀

8. 3-氨基-1-金刚烷醇可用于合成药物维格列汀（治疗 II 型糖尿病），其分子结构如图所示。下列说法不正确的是

- A. 分子中 O 原子和 N 原子均为 sp<sup>3</sup> 杂化
- B. 分子中 C—O—H 的键角大于 C—N—H 的键角
- C. 分子中 O—H 的极性大于 N—H 的极性
- D. 分子中含有手性碳原子

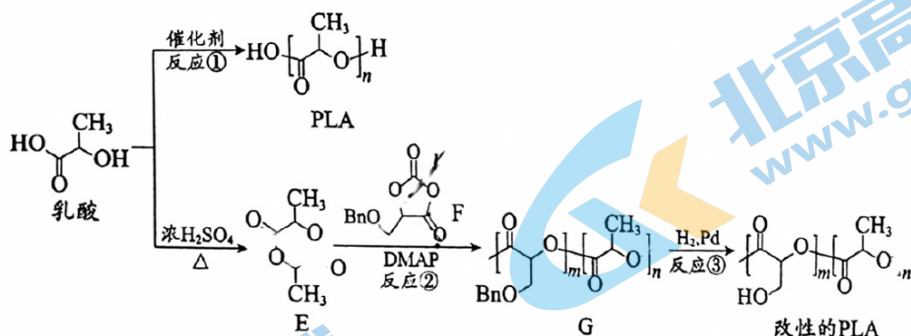


3-氨基-1-金刚烷醇

9. 下列实验方案能达实验目的的是

目的	实验方案	研究浓度对化学平衡的影响	比较 Na <sub>2</sub> CO <sub>3</sub> 、NaHCO <sub>3</sub> 与酸反应快慢	D
比较 Mg、Al 金属性的强弱	浓 NaOH 溶液 Mg(OH) <sub>2</sub> Al(OH) <sub>3</sub>	2mL 0.1 mol·L <sup>-1</sup> KSCN 溶液 1mL 0.01 mol·L <sup>-1</sup> FeCl <sub>3</sub> 溶液和 1mL 0.01 mol·L <sup>-1</sup> KSCN 溶液	0.1 mol·L <sup>-1</sup> 盐酸溶液 饱和 Na <sub>2</sub> CO <sub>3</sub> 溶液 饱和 NaHCO <sub>3</sub> 溶液	醋酸 碳酸钠 苯酚钠溶液

10. 聚乳酸(PLA)是最具潜力的可降解高分子材料之一，对其进行基团修饰可进行材料的改性，从而拓展 PLA 的应用范围。PLA 和某改性的 PLA 的合成路线如下图。



下列说法不正确的是

- A. 反应①是缩聚反应
- B. 反应②中，参与聚合的 F 和 E 的物质的量之比是 m : n
- C. 改性的 PLA 中，m : n 越大，其在水中的溶解性越好
- D. 在合成中 Bn 的作用是保护羟基，防止羟基参与聚合反应

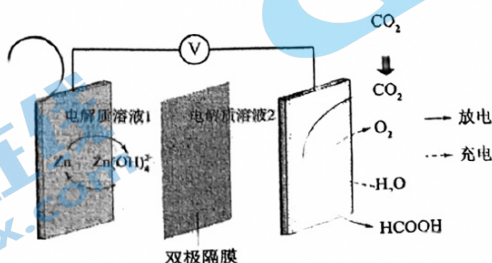
11. 一定温度下，在容积恒为 1 L 的容器中通入一定量 N<sub>2</sub>O<sub>4</sub>，发生反应 N<sub>2</sub>O<sub>4</sub>(g) ⇌ 2NO<sub>2</sub>(g) ΔH>0，各组分浓度随时间(t)的变化如下表

t / s	0	20	40	60	
c(N <sub>2</sub> O <sub>4</sub> )/(mol/L)	0.100	0.062	0.048	0.040	0.040
c(NO <sub>2</sub> )/(mol/L)	0	0.076	0.104	0.120	0.120

下列说法正确的是

- A. 0~60 s，N<sub>2</sub>O<sub>4</sub>的平均反应速率为 v=0.04 mol/(L·min)
- B. 升高温度，反应的化学平衡常数值减小
- C. 80 s 时，再充入 NO<sub>2</sub>、N<sub>2</sub>O<sub>4</sub> 各 0.12 mol，平衡不移动
- D. 若压缩容器使压强增大，达新平衡后混合气颜色比原平衡时浅

12. 科学家近年发明了一种新型 Zn-CO<sub>2</sub> 水介质电池。电池示意图如下，电极为金属锌和选择性催化材料，放电时，温室气体 CO<sub>2</sub> 被转化为储氢物质甲酸等，为解决环境和能源问题提供了一种新途径。(已知：离子一般不能通过双极隔膜，双极隔膜中的水可解离为 H<sup>+</sup> 和 OH<sup>-</sup> 并在电场中通过隔膜分别向两边迁移)



下列说法错误的是

- A. 放电时, 负极反应为  $Zn + 4OH^- - 2e^- \rightleftharpoons [Zn(OH)_4]^{2-}$
  - B. 放电时 1 mol CO<sub>2</sub> 转化为 HCOOH, 转移的电子数为 2 mol
  - C. 充电时, 电池总反应为  $2[Zn(OH)_4]^{2-} \rightleftharpoons 2Zn + O_2 \uparrow + 4OH^- + 2H_2O$
  - D. 充电时, 阳极溶液中 OH<sup>-</sup> 浓度升高
13. 某种含二价铜微粒[Cu<sup>II</sup>(OH)(NH<sub>3</sub>)]<sup>+</sup>的催化剂可用于汽车尾气脱硝, 催化机理如图 1, 反应过程

中不同态物质体系所含的能量如图 2。下列说法不正确的是

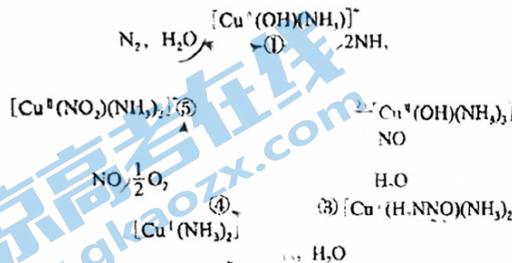


图 1

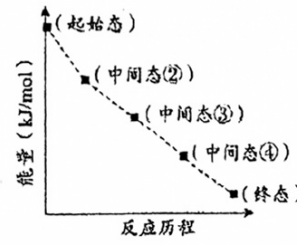
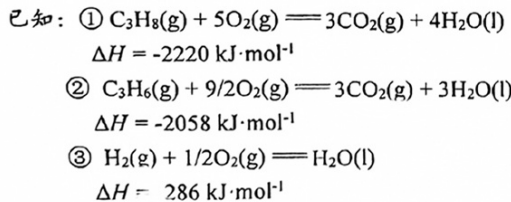


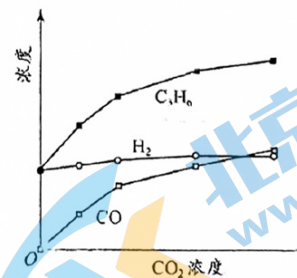
图 2

- A. 总反应焓变  $\Delta H < 0$
- B. 由状态②到状③发生的是氧化还原反应
- C. 状态③到状态④的变化过程中有 O—H 键的形成
- D. 该脱硝过程的总反应方程式为  $4NH_3 + 2NO + 2O_2 \rightleftharpoons 6H_2O + 3N_2$

14. 丙烷经催化脱氢可制丙烯:  $C_3H_8 \rightleftharpoons C_3H_6 + H_2$  600°C, 将一定浓度的 CO<sub>2</sub> 与固定浓度的 C<sub>3</sub>H<sub>8</sub> 通过含催化剂的恒容反应器, 经相同时间, 流出的 C<sub>3</sub>H<sub>6</sub>、CO 和 H<sub>2</sub> 浓度随初始 CO<sub>2</sub> 浓度的变化关系如图。



下列说法不正确的是



- A.  $C_3H_8(g) \rightleftharpoons C_3H_6(g) + H_2(g) \quad \Delta H = +124 \text{ kJ} \cdot \text{mol}^{-1}$
- B. c(H<sub>2</sub>) 和 c(C<sub>3</sub>H<sub>6</sub>) 变化差异的原因:  $CO_2 + H_2 \rightleftharpoons CO + H_2O$
- C. 其他条件不变, 投料比  $c(C_3H_8)/c(CO_2)$  越大, C<sub>3</sub>H<sub>6</sub> 转化率越大
- D. 若体系只有 C<sub>3</sub>H<sub>6</sub>、CO、H<sub>2</sub> 和 H<sub>2</sub>O 生成, 则初始物质浓度 c<sub>0</sub> 与流出物质浓度 c 之间一定存在:  $3c_0(C_3H_8) + c_0(CO_2) = c(CO) + c(CO_2) + 3c(C_3H_6) + 3c(C_3H_8)$

第II卷(非选择题部分,共58分)

15. (12分)

工业中可利用生产钛白副产物 $\text{FeSO}_4 \cdot 7\text{H}_2\text{O}$ 和硫铁矿( $\text{FeS}_2$ )联合制备铁粉精( $\text{Fe}_3\text{O}_4$ )和硫酸,实现能源及资源的有效利用。

(1)  $\text{FeSO}_4 \cdot 7\text{H}_2\text{O}$ 结构示意图如图1。

① $\text{Fe}^{2+}$ 价层电子排布式为\_\_\_\_\_

② $\text{H}_2\text{O}$ 中O和 $\text{SO}_4^{2-}$ 中S均为 $\text{sp}^3$ 杂化,比较 $\text{H}_2\text{O}$ 中H-O-H键角和 $\text{SO}_4^{2-}$ 中O-S-O键角的大小并解释原

因:\_\_\_\_\_。

③ $\text{FeSO}_4 \cdot 7\text{H}_2\text{O}$ 中 $\text{H}_2\text{O}$ 与 $\text{Fe}^{2+}$ 、 $\text{H}_2\text{O}$ 与 $\text{SO}_4^{2-}$ 的作用力类型分别是\_\_\_\_\_。

(2)  $\text{FeS}_2$ 晶体的晶胞形状为立方体,边长为a nm,结构如图2。

①距离 $\text{Fe}^{2+}$ 最近的阴离子有\_\_\_\_\_个。

② $\text{FeS}_2$ 的摩尔质量为 $120 \text{ g} \cdot \text{mol}^{-1}$ ,阿伏加德罗常数为 $N_A$ 。

该晶体的密度为\_\_\_\_\_ $\text{g} \cdot \text{cm}^{-3}$ 。 $(1 \text{ nm} = 10^{-9} \text{ m})$

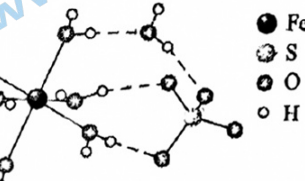


图1

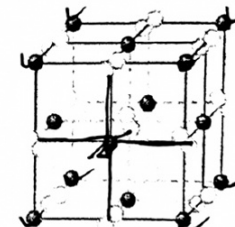
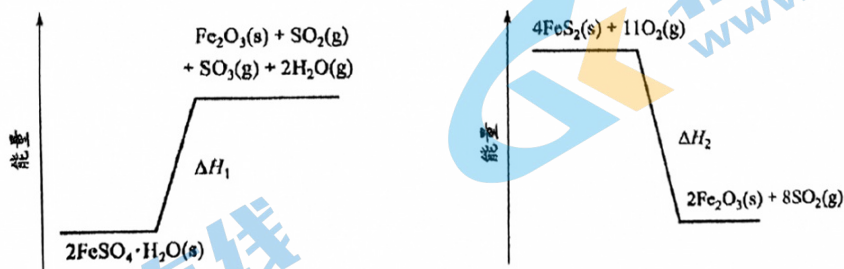


图2

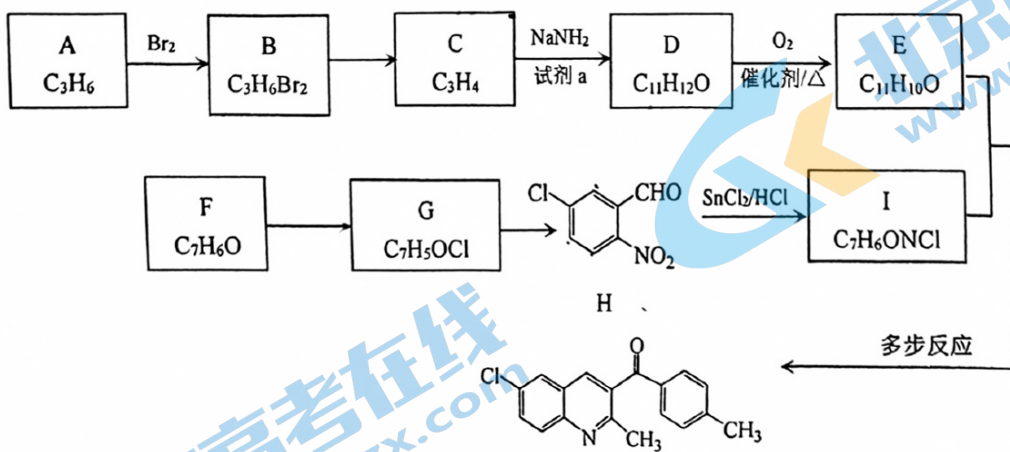
(3)  $\text{FeSO}_4 \cdot 7\text{H}_2\text{O}$ 加热脱水后生成 $\text{FeSO}_4 \cdot \text{H}_2\text{O}$ ,再与 $\text{FeS}_2$ 在氧气中掺烧可联合制备铁精粉和硫酸。

$\text{FeSO}_4 \cdot \text{H}_2\text{O}$ 分解和 $\text{FeS}_2$ 在氧气中燃烧的能量示意图如图3。利用 $\text{FeS}_2$ 作为 $\text{FeSO}_4 \cdot \text{H}_2\text{O}$

分解的燃料,从能源及资源利用的角度说明该工艺的优点\_\_\_\_\_。



16. (17分) 某喹啉类化合物 P 的合成路线如下:



已知:



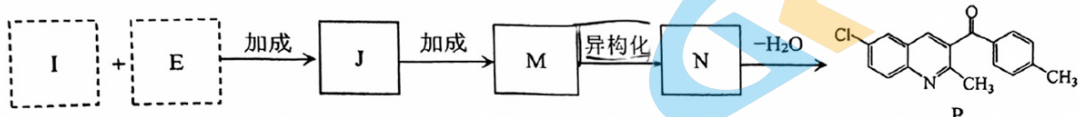
- (1) A 为链状，按官能团分类，其类别是\_\_\_\_\_。
- (2) B→C 的反应方程式是\_\_\_\_\_。
- (3) C→D 所需的试剂 a 是\_\_\_\_\_。
- (4) 下列关于 E 的说法正确的是\_\_\_\_\_

- a. 能发生银镜反应
- b. 能发生氧化、消去、加聚反应
- c. 核磁共振氢谱显示峰面积比为 3:2:2:3
- d. 1mol E 可以与 6 mol H<sub>2</sub> 发生反应

(5) G 的结构简式为\_\_\_\_\_；

(6) H→I 的反应类型为\_\_\_\_\_。

(7) 由 I 和 E 合成 P 的流程图如下，M 与 N 互为同分异构体，试写出 J、M、N 的结构简式: \_\_\_\_\_、  
\_\_\_\_\_、\_\_\_\_\_。



17. (13分) 探究 $0.5\text{ mol/L FeCl}_3$ 溶液( $\text{pH}=1$ )与不同金属反应时的多样性的原因。

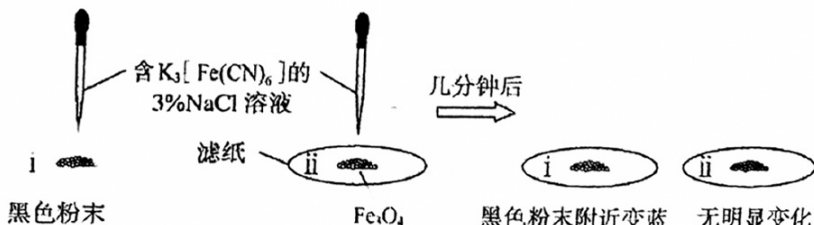
(各组实验中: 所用 $\text{FeCl}_3$ 溶液体积相同; 金属过量; 静置、不振荡)

编号	金属	现象及产物检验
I	镁条	立即产生大量气体, 金属表面变黑, 该黑色固体能被磁铁吸引, 液体颜色由棕黄色逐渐变为红褐色; 片刻后气泡减少, 金属表面覆盖有红褐色沉淀, 此时取反应后的液体, 滴加 $\text{K}_3[\text{Fe}(\text{CN})_6]$ 溶液, 生成蓝色沉淀。
II	铜粉	无气体产生, 溶液逐渐变为蓝绿色; 取反应后的溶液, 滴加 $\text{K}_3[\text{Fe}(\text{CN})_6]$ 溶液, 生成蓝色沉淀。

(1) 根据实验I中的现象, 推测红褐色液体为胶体, 并用光束照射该液体, 在与光束垂直的方向观察到\_\_\_\_\_得以证实。

(2) 已知:  $\text{Fe}$ 和 $\text{Fe}_3\text{O}_4$ 均能被磁铁吸引。

① 为了确定黑色固体的成分是否含有 $\text{Fe}$ 与 $\text{Fe}_3\text{O}_4$ , 重复实验I, 及时取少量镁条表面生成的黑色粉末, 洗净后进行实验如下:



该实验说明黑色固体中一定含有\_\_\_\_\_, 结合现象写出判断的理由: \_\_\_\_\_。

② 除上述结论外, 分析实验I的现象, 可知被还原得到的产物一定还有\_\_\_\_\_。

(3) 实验I、II中现象的差异, 与 $\text{Fe}^{3+}$ 、 $\text{Mg}^{2+}$ 、 $\text{Fe}^{2+}$ 、 $\text{H}^+$ 、 $\text{Cu}^{2+}$ 的氧化性强弱有关, 其顺序是 $\text{Mg}^{2+} < \text{Fe}^{2+} < \text{_____}$ 。

(4) 继续探究 $0.5\text{ mol/L FeCl}_3$ 溶液( $\text{pH}=1$ )与 $\text{Fe}$ 的反应。

编号	金属	现象及产物检验
III	铁粉	持续产生少量气体; 一段时间后, 溶液颜色变浅, 底部有红褐色沉淀, 经检验, 溶液 $\text{pH}=4$ , 含有 $\text{Fe}^{2+}$ , 无 $\text{Fe}^{3+}$ 。
IV	铁丝	无明显的气泡产生; 一段时间后, 溶液变为浅绿色, 经检验, 溶液 $\text{pH}=2$ , 含有 $\text{Fe}^{2+}$ 和 $\text{Fe}^{3+}$ ; $\text{Fe}^{3+}$ 被还原的量多于实验III。

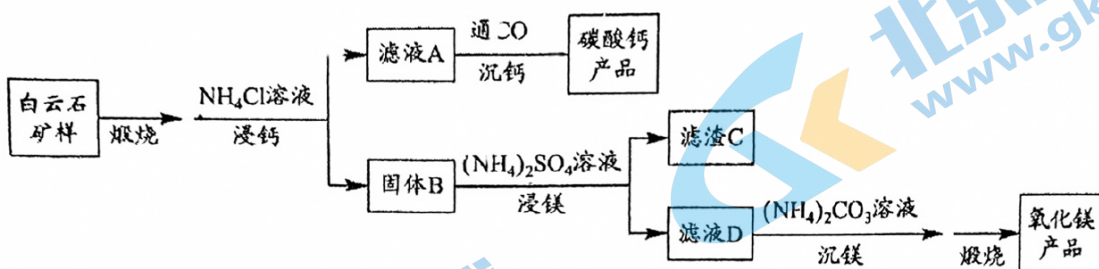
① 实验III中发生反应的离子方程式有\_\_\_\_\_。

② 已知: 相同条件下,  $\text{H}^+$ 在溶液中的移动速率远大于 $\text{Fe}^{3+}$ 。结合实验I、II, 由反应中金属表面离子浓度的变化, 推测实验III、IV现象差异的原因: \_\_\_\_\_。

18. (16 分)

白云石的主要化学成分为  $\text{CaMg}(\text{CO}_3)_2$ , 还含有质量分数约为 2.1% 的  $\text{Fe}_2\text{O}_3$  和 1.0% 的  $\text{SiO}_2$ 。

利用白云石制备高纯度碳酸钙和氧化镁, 流程示意图如下。



已知:

物质	$\text{Ca}(\text{OH})_2$	$\text{Mg}(\text{OH})_2$	$\text{CaCO}_3$	$\text{MgCO}_3$
$K_{sp}$	$5.5 \times 10^{-6}$	$5.6 \times 10^{-12}$	$3.4 \times 10^{-9}$	$6.8 \times 10^{-6}$

(1) 白云石矿样煅烧完全分解的化学方程式为\_\_\_\_\_。

(2)  $\text{NH}_4\text{Cl}$  用量对碳酸钙产品的影响下表所示。

$n(\text{NH}_4\text{Cl})$ $n(\text{CaO})$	氧化物(MO)浸出率 / %		产品中 $\text{CaCO}_3$ 纯度 / %		产品中 Mg 杂质含量 / % (以 $\text{MgCO}_3$ 计)
	CaO	MgO	计算值	实测值	
2.1 : 1	98.4	1.1	99.1	99.7	—
2.2 : 1	98.8	1.5	98.7	99.5	0.06
2.4 : 1	99.1	6.0	95.2	97.6	2.20

备注: i. MO 浸出率 = (浸出的 MO 质量 / 煅烧得到的 MO 质量) × 100% (M 代表 Ca 或 Mg)

ii.  $\text{CaCO}_3$  纯度计算值为滤液 A 中钙、镁全部以碳酸盐形式沉淀时计算出的产品中  $\text{CaCO}_3$  纯度。

①解释“浸钙”过程中主要浸出  $\text{CaO}$  的原因是\_\_\_\_\_。

②沉钙反应的离子方程式为\_\_\_\_\_。

③“浸钙”过程中不宜选用  $n(\text{NH}_4\text{Cl}) : n(\text{CaO})$  的比例为\_\_\_\_\_。

④产品中  $\text{CaCO}_3$  纯度的实测值高于计算值的原因是\_\_\_\_\_。

(3) “浸镁”过程中, 取固体 B 与一定浓度的  $(\text{NH}_4)_2\text{SO}_4$  溶液混合, 充分反应后  $\text{MgO}$  的浸出率低

于 60%。加热蒸馏,  $\text{MgO}$  的浸出率随馏出液体积增大而增大, 最终可达 98.9%。从化学平衡的角度解释浸出率增大的原因是\_\_\_\_\_。

(4) 滤渣 C 中含有的物质是\_\_\_\_\_。

(5) 该流程中可循环利用的物质是\_\_\_\_\_。

## 关于我们

北京高考在线创办于 2014 年，隶属于北京太星网络科技有限公司，是北京地区极具影响力中学升学服务平台。主营业务涵盖：北京新高考、高中生涯规划、志愿填报、强基计划、综合评价招生和学科竞赛等。

北京高考在线旗下拥有网站门户、微信公众平台等全媒体矩阵生态平台。平台活跃用户 40W+，网站年度流量数千万量级。用户群体立足于北京，辐射全国 31 省市。

北京高考在线平台一直秉承 “ 精益求精、专业严谨 ” 的设计理念，不断探索 “K12 教育 + 互联网 + 大数据 ” 的运营模式，尝试基于大数据理论为广大中学和家长提供新鲜的高考资讯、专业的高考政策解读、科学的升学规划等，为广大高校、中学和教科研单位提供 “ 衔接和桥梁纽带 ” 作用。

平台自创办以来，为众多重点大学发现和推荐优秀生源，和北京近百所中学达成合作关系，累计举办线上线下升学公益讲座数百场，帮助数十万考生顺利通过考入理想大学，在家长、考生、中学和社会各界具有广泛的口碑影响力。

未来，北京高考在线平台将立足于北京新高考改革，基于对北京高考政策研究及北京高校资源优势，更好的服务全国高中家长和学生。



微信搜一搜

Q 北京高考资讯